

## 丹磺酰肽的荧光定量分析法研究

潘小平 蔡金莲 张炳海 王德岭

(上海医科大学基础医学部化学教研室)

丹磺酰氯和肽反应，得丹磺酰肽 (DNS-肽)，它具有很强的荧光，对酸水解十分稳定，目前广泛地应用于肽和蛋白质的 N-末端氨基酸分析<sup>[1]</sup>，也用于组织中氨基酸含量的超微量定量分析<sup>[2,3]</sup>。近几年，将此法试用于脑脊液和脑组织中小肽含量的测定<sup>[4,5]</sup>，不但灵敏度高，荧光强度稳定，而且线性关系良好，重复性也很好。现将我们试用结果介绍如后。

### 实验和结果

#### 1. 肽的荧光标记

实验用的亮氨酸脑啡肽和脑新肽，由中国科学院上海生化所合成<sup>[6]</sup>。丹磺酰氯 (DNS-Cl) 为 BDH 出品。丹磺酰肽的制备，是根据 Gray 的方法<sup>[1]</sup>。称取约 20 μg 的肽，置于微量玻璃试管中，加入 30 μl 0.2N NaHCO<sub>3</sub> 溶液(调 pH 到 9.5，用无氨蒸馏水配制)，再加等体积的 DNS-Cl 丙酮溶液 (2.5mg/ml)，用塞子盖紧后，在 37°C 水浴中保温 1 小时，或避光放置过夜。加 1N HCl 酸化到 pH4 左右，以分解多余的 DNS-Cl，真空干燥。

我们纯化的 α<sub>2</sub>M 产品经 SDS-梯度聚丙烯酰胺凝胶电泳鉴定为一条区带，与国外文献报道的电泳图谱比较结果相同<sup>[1,3]</sup>。证明其纯度较高。可用于制备抗血清。

本文经美国国立大学医学中心王大栋教授指导，特此致谢。

#### 2. DNS-肽的纯化

在上述干燥的 DNS-肽样品中，加入少量质谱纯甲醇溶解，在硅胶 G (GF<sub>254</sub>, Type 60, Merk) 薄板上 (10 × 10cm) 点样，层析，以除去 DNS-Cl 的分解产物 DNS-OH 和 DNS-NH<sub>2</sub> 等杂质。层析时，第 I 相用正丁醇：醋酸：水 = 4:1:1 溶剂系统展开，第 II 相用正庚烷：正丁醇：醋酸 = 3:3:1 溶剂系统展开。干燥后在 365nm 波长紫外灯下定出 DNS-肽斑点的位置，将此斑点，连同硅胶吸入小层析管中，用质谱纯甲醇洗脱，洗脱液真空干燥。再用质谱纯氯仿抽提一次，真空干燥，得纯品。

#### 3. 丹磺酰肽的激发光谱和发射光谱的测定

将纯化得到的 DNS-亮-脑啡肽，DNS-脑新肽和 DNS-二甘肽分别溶于甲醇中，配制成 10<sup>-12</sup>M 浓度的溶液，在日立 MPF-4 荧光分光光度计上，测定它们的激发光谱和发射光谱，结果见图 1, 2, 3。

#### 4. 丹磺酰肽溶液荧光比色测定检量标准曲线

配制不同浓度的 DNS-亮-脑啡肽，DNS-

- [ 2 ] Schultze, H. E. et al.: *Naturforsch.*, **10**, 463, 1955.
- [ 3 ] Bridges, M. A. et al.: *Clin. Chim. Acta*, **118**, 21—31, 1982.
- [ 4 ] Harpel, P. C.: *Meth. Enzymol.*, **45**, 639, 1976.
- [ 5 ] Barrett, A. J. et al.: *Biochem. J.*, **181**, 401, 1979.
- [ 6 ] Virca, G. D. et al.: *Anal. Biochem.*, **89**, 274, 1978.
- [ 7 ] Ganrot, P. O.: *Clin. Chim. Acta*, **14**, 493, 1966.

[本文于 1985 年 9 月 6 日收到]

### 参考文献

- [ 1 ] Barrett, A. J. et al.: *Biochem. J.*, **133**, 709, 1973.

定得到的检量标准曲线见图 4。

表 1 DNS 肽的最大激发波长和最大发射波长

	DNS-亮-脑啡肽	DNS-脑新肽	DNS-二甘肽
最大激发波长 (nm)	339	311	330
最大发射波长 (nm)	523	410	532

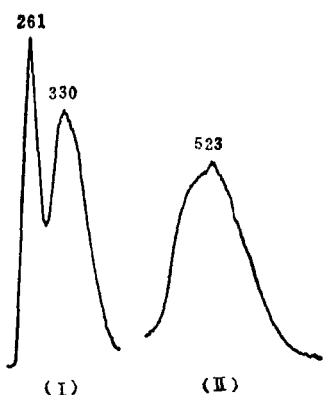


图 1 DNS-亮-脑啡肽的激发光谱 (I) 和发射光谱 (II)

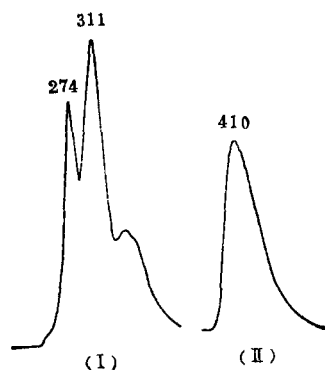


图 2 DNS-脑新肽的激发光谱 (I) 和发射光谱 (II)

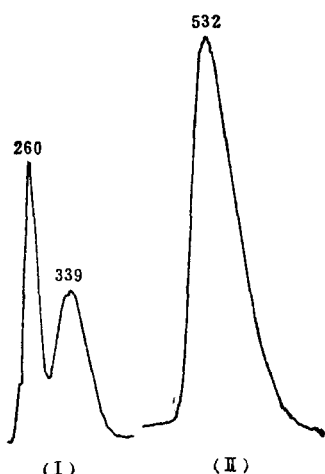


图 3 DNS-二甘肽的激发光谱 (I) 和发射光谱 (II)

脑新肽和 DNS-二甘肽的甲醇溶液，浓度分别为  $0.25 \times 10^{-12}$ ,  $0.5 \times 10^{-12}$ ,  $1 \times 10^{-12}$ ,  $0.5 \times 10^{-11}$ ,  $1 \times 10^{-11} M$ ，在 3ml 比色池中进行荧光定量测定。测定用的激发波长和发射波长见表 1。测

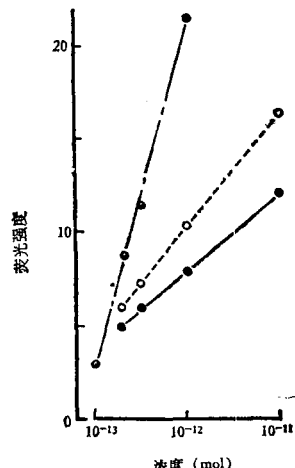


图 4 DNS-肽荧光比色定量检量标准曲线

●—● DNS-脑新肽 ○---○ DNS-亮-脑啡肽  
○—○ DNS-二甘肽

## 5. DNS-肽聚酰胺薄膜荧光斑点扫描定量检量标准曲线

配制不同浓度的 DNS-亮-脑啡肽，DNS-

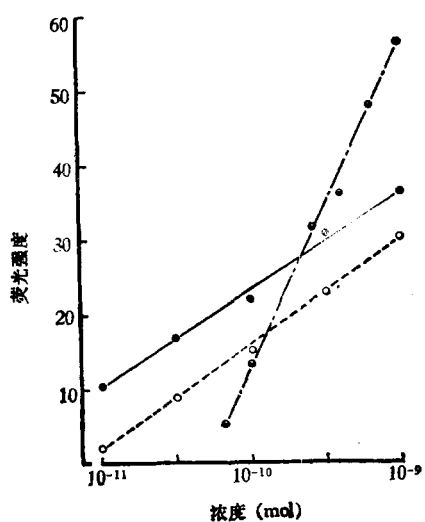


图 5 DNS-肽聚酰胺薄膜荧光扫描定量检量标准曲线

●—● DNS-脑新肽 ○---○ DNS-亮-脑啡肽  
○—○ DNS-二甘肽

脑新肽和 DNS-二甘肽的甲醇溶液，浓度分别为  $1 \times 10^{-11}$ ,  $0.5 \times 10^{-10}$ ,  $1 \times 10^{-10}$ ,  $0.5 \times 10^{-9}$  和  $1 \times 10^{-9} M$ . 用  $1\mu l$  定量点样管分别在聚酰胺薄膜片上点样，并进行双相层析。第 I 相用甲酸：水 = 1.5:100(V/V)，第 II 相用正丁醇：正庚烷：醋酸 = 5:5:1 (V/V/V). 在 254nm 紫外灯下定出 DNS-肽的荧光斑点，隔日后进行荧光定量扫描，激发波长和发射波长见表 1，结果见图 5.

### 6. 家兔脑脊液中脑新肽含量的测定

按照我们实验室的方法收集家兔脑脊液，在家兔的第四脑室植入一直径为 0.9mm 的不锈钢套管，术后五天开始收集脑脊液，收集的脑脊液，立即贮存于低温冰箱中 ( $-20^{\circ}\text{C}$ )<sup>[7]</sup>. 取  $20\mu l$  脑脊液，真空干燥，在干燥的样品中，加入  $20\mu l$  0.2N NaHCO<sub>3</sub> 和  $20\mu l$  的 DNS-Cl 丙酮溶液，进行丹磺酰化。由于脑脊液中含的蛋白质较少，不需进行前处理，即可进行丹磺酰化。在干燥的丹磺酰化样品中，加入  $10\mu l$  质谱纯甲醇溶解，用  $1\mu l$  定量点样管在聚酰胺薄膜片上点样，并进行双相层析。方法同 5. 在 254nm 紫外灯下定出 DNS-脑新肽的荧光斑点，隔日后进行定量扫描，激发波长为 311nm，发射波长为 410nm. 从扫描曲线的面积，求得 DNS-脑新肽的含量。测定结果，家兔脑脊液中脑新肽的含量，平均为  $24.2\text{nmole}/100\mu l$ . 再将膜上的 DNS-脑新肽荧光斑点，连膜挖下，置于小层析管中，用甲醇洗脱，并用甲醇稀释到 3ml，测定其含量，得到脑新肽的含量为  $25.8\text{nmole}/100\mu l$ . 两者测定结果，基本一致。

### 7. 回收试验

将兔脑脊液分装成 10 管，每管  $20\mu l$ ，其中 2 管作为对照管，其余 8 管，组成四对复管，分别加入 0.2, 0.4, 0.8 和  $1.6\text{nmole}$  的脑新肽。真空干燥后，进行丹磺酰化，真空干燥后，加  $10\mu l$  质谱纯甲醇溶解，然后在聚酰胺薄膜片上定量点样，并进行双相层析，方法同上。得到 DNS-脑新肽荧光斑点，在荧光分光光度计上进行扫描定量，得到脑新肽的含量。将样品管中测得的脑新肽的含量，减去对照管中脑新肽的量，得到加入脑新肽的回收量，算出回收率，结果见表

2. 实验的平均回收率为 94.33%，符合实验要求。

表 2 脑新肽的回收率

	对照管	样品管			
		1	2	3	4
脑脊液量 ( $\mu l$ )	20	20	20	20	20
加入脑新肽量 ( $\text{nmole}$ )	—	0.2	0.4	0.8	1.6
回收率 (%)	—	94.85	97.70	94.00	90.75
平均回收率 (%)				94.33	

## 讨 论

在肽的荧光分析实验中，常用的荧光试剂有荧光胺，邻-苯二醛，丹磺酰氯等。它们和小肽结合后产生的荧光强度，以丹磺酰氯为最强，一般情况下，DNS-肽的荧光强度，比荧光胺标记的肽的荧光要强 100 倍。小肽在丹磺酰化时，条件温和，有些肽在丹磺酰化后，还能保留原有的生物活性<sup>[4,5]</sup>，可进行生物活性鉴定。由于丹磺酰肽对酸水解，很稳定，所以在定量测定后的 DNS-肽溶液或斑点，在回收后还可进行肽的末端分析，氨基酸组成和结构分析。

小肽和 DNS-Cl 反应生成的 DNS-肽，它的荧光强度很稳定，我们实验室，曾将在聚酰胺薄膜片上的 DNS-脑新肽斑点，避光保存一年，荧光强度没有明显的改变。由于肽的结构不同，每种 DNS-肽的荧光稳定性也不可能一样。

DNS-Cl 不但能和肽的末端氨基起反应，也能和肽链中可能存在的游离羟基和氨基起反应，因此实验时必须注意恰当地使用 DNS-Cl 的量。

DNS-肽在聚酰胺薄膜片上进行荧光定量扫描，最小检出量为  $10\text{pmole}$ . 在溶液中进行荧光定量比色测定，最小检出浓度为  $0.1\text{pmole}$ .

将 DNS-亮-脑啡肽和 DNS-脑新肽，分别用甲醇配制成相同浓度的溶液 ( $1\text{nM}$ )，在恒温比色池中，由低温到高温，每上升  $5^{\circ}\text{C}$  测定一次，结果见图 6.

从图 6 可看到，温度对 DNS-肽的荧光强度是有影响的，DNS-亮-脑啡肽在  $10^{\circ}-20^{\circ}\text{C}$

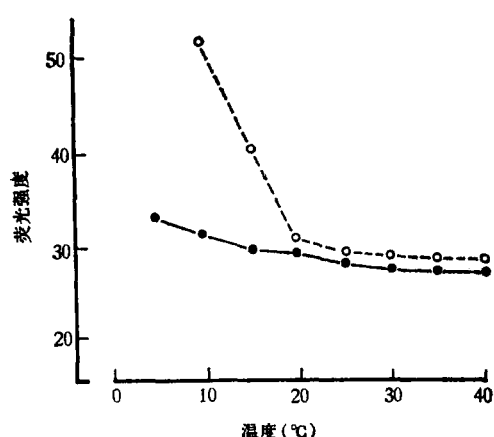


图 6 温度对 DNS-肽荧光强度的影响

○—○ DNS-亮-脑啡肽  
●—● DNS-脑新肽

之间的温度系数为 2, 即温度上升 1°C, 荧光减少 2%。DNS-脑新肽的温度系数较小, 只有 0.5, 即温度每上升 1°C, 荧光强度只减少 0.5%。二者在 20°—30°C 之间的温度系数均很小, 30°—40°C 之间, 温度升高时, 荧光强度, 基本不变。随着温度升高, 荧光强度降低其主要原因是由于分子内能量的转移作用, 即是将分子的激发能, 转变为基态能, 或通过碰撞, 将能量转移给溶剂分子<sup>[8]</sup>。

表 3 不同溶剂对 DNS-肽荧光强度的影响

样 品	浓度 (nM)	荧光强度(%)		
		甲 醇	氯 仿	丙 酮
DNS-亮-脑啡肽	1	100	12.3	43.0
DNS-脑新肽	1	100	75.4	10.8

将 DNS-亮-脑啡肽和 DNS-脑新肽, 分别用甲醇, 丙酮和氯仿配制相同浓度的溶液 (1nM), 进行荧光定量测定, 结果见表 3。

从表 3 可看到, 丙酮和氯仿都有降低荧光强度的作用, 这可能和 DNS-肽在溶剂中的构象有关, 也和溶剂的吸收有关。因此, 实验时必须注意溶剂的选择, 以免影响实验的灵敏度。此外, pH 对 DNS-肽的荧光强度也有影响, DNS-脑新肽在 pH 3—4 时, 荧光强度也比较强。

本文中报道的检量标准曲线的浓度范围, 荧光比色法  $10^{-13}$ — $10^{-11}$  mole, 荧光薄膜扫描法是  $10^{-11}$ — $10^{-9}$  mole, 由于荧光法测定 DNS-肽溶液或斑点的灵敏度很高, 在此范围以外, 使用的仪器的灵敏度, 需要调整, 调整灵敏度后的标准曲线需要另行绘制。

### 参 考 文 献

- [1] Gray, WR.: *Method in Enzymology*, 11, 139, Hirs, CHW (ed.). Academic Press Inc. N. Y., 1967.
- [2] Wood, KR et al.: *Biochem. Biophys. Acta*, 133 369, 1967.
- [3] Lee, ML et al.: *J. Chromatography*, 116 462, 1976.
- [4] 潘小平等: «生物化学与生物物理学报», 14, 383, 1982.
- [5] Tamuva, Z. et al.: *Anal. Biochem.*, 52 595, 1973.
- [6] 施溥涛等: «生物化学与生物物理学报», 14 397, 1982.
- [7] 潘小平等: «针刺研究», 8, 229, 1982.
- [8] Brown, EJ. et al.: *J. Phys. Chem.*, 63 4, 1959.

【本文于 1985 年 12 月 17 日收到】